ブリルアン光相関領域反射計における最適な遅延ファイバ長の検討

Toward optimization of delay fiber length in Brillouin optical correlation-domain reflectometry

〇坂本 真菜 1、捧 治紀 1、野田 康平 2,3、中村 健太郎 2、水野 洋輔 3、李 ひよん 1 芝浦工業大学 工学部 2東京工業大学 未来研 3横浜国立大学 工学研究院

OM. Sakamoto¹, H. Sasage¹, K. Noda^{2,3}, K. Nakamura², Y. Mizuno³, and H. Lee¹ ¹Shibaura Institute of Technology ² Tokyo Institute of Technology ³ Yokohama National University E-mails: af18051@shibaura-it.ac.jp, hylee@shibaura-it.ac.jp

1. はじめに

1. はじめに
光ファイバ中のブリルアン散乱を用いた歪・温度センサは、周波数情報に基づいて比較的高精度に歪・温度のの応用が期待されている。中でも、「ブリルアン光相関領域反射計(BOCDR)」は、片端からの光入射で動作し、mm オーダが高い空間分解能、ランダムアクセス性、低廉性を兼ね削える唯一の技術である[1]。最近では、歪・温度分布の取得も達成されている[2,3]。
BOCDRでは、光波コヒーレンス関数の合成法[4]に基づアクイバでUT)からの局所的なブリルアン利得をせん、判定に基づアイバで取りまされた信号光と参照光を干渉させ、測定ファイバを取得する[1]。その際、測定位置となる相関ピークの次数を制御する「1」。その際、測定位置となる相関ピークの次次を取得する「1」。その際、測定位置となる相関ピークの次数を制御する「1」。と参照光路に比較がる長距離の長さについて、を制御するため、参照光路に比較いる最適な遅延ファイバをがある。ここで本研究では、BOCDRにおける最適なアイバを解明するための基礎検討を行った。と解明するとも関定の場合について、遅延ファイバ長を変化させたときの BGS を評価した。

化させたときの BGS を評価した。

2. 原理

基本的な BOCDR が正しく動作するためには、FUT 中に複数の相関ピーク(測定位置に相当)が生成されてはならない。特に、光源の変調による位置制御が困難である 0 次の相関ピーク (等光路点)は、FUT 内に生成されないよう留意するととのが、そのために、参照光路に遅延ファイバ

3. 実験
今回用いた実験系を Fig. 1 に示す。光学系は BOCDR と同等であるが、レーザには周波数変調を印加せず、FUT 全長からの BGS を観測した。参照光路には遅延ファイバを挿入し、その長さを変化させた。FUT の長さは 0.9 m とした。レーザの出力パワーは 6.0 dBm、FUT への入射パワーはエルビウム添加光ファイバ増幅器 (EDFA) を用いて 24.0 dBmに増幅した。参照光と散乱光は、ともに 1.0 dBmまで増幅したのお田がと改編波スクランブラにより制御した。まず、観測された BGS の遅延ファイバ長に対する依存性を調査した (Fig. 2)。遅延ファイバ長は 0 km(遅延ファイバなし)から 35 km まで、5 km 毎に変化させた。偏波状態は、各ピークが最大となるよう調整した。FUT の BFS である約 10.84 GHz、および、遅延ファイバの BFS である約 10.88 GHz に明瞭なピークが現れた。なお、約 10.92 GHz のピークは、FUT の高次モードの BFS である。遅延ファイバ長の増加に伴い、FUT に起因するピークのパワーは減少、遅延ファイバに起因するピークのパワーは増加した。

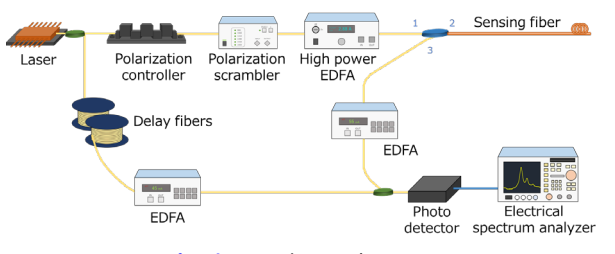
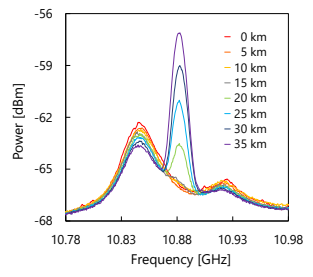


Fig. 1. Experimental setup.



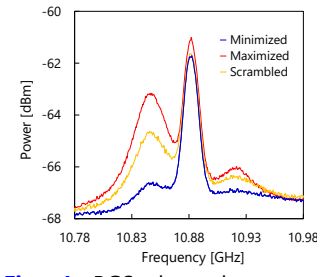


Fig. 2. BGS dependence on delay fiber length.

Fig. 4. BGS dependence on relative polarization state.

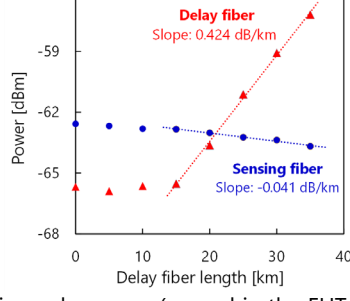


Fig. 3. Brillouin peak powers (caused in the FUT and the delay fiber) plotted as functions of the delay fiber length. The solid lines are linear fits of the plots within 15–35 km.

次に、この様子を定量評価すべく、各ピークのパワーを遅延ファイバ長に対してプロットした(Fig. 3)。遅延ファイバが 15 km 以上になると、遅延ファイバに起因するピークのパワーが急激に(依存係数+0.42 dB/km)増加し、約 20 km 程度で両者の大小関係が逆転した。一方、遅延ファイバ長の増加に伴い、FUT に起因するピークのパワーは徐々なには少した(遅延ファイバ長が 15 km 以上のとき依存係数は一0.04 dB/km)。参照光を EDFA で一定パワーに増幅しているが、そのうち本来の成分が減少するためと考えられる。最後に、遅延ファイバ長が 25 km のときのスペクトルの相対偏波状態に対する依存性を調査した(Fig. 4)。FUT に起因するピークは偏波状態により 3.4 dB 以上変動した。一方、遅延ファイバに起因するピークのパワー変動は<0.8 dB でした。これは後者のピークを構成する光が多様な経路を辿ってきたため、元から偏波状態が平均化されていたものと考えられる。

以上から、15 km 程度までの遅延ファイバであれば、FUT に起因する本来の BGS 観測に悪影響を及ぼさないといえる。しかし、今回は全長測定の結果であり、分布測定を行った関係に対象に対象に対象にある。 しかし、今回は全長測定の結果であり、分布測定を行った場合に許容される遅延ファイバの長さは今後解明する必要

参考文献

- [1] Y. Mizuno, et al., Opt. Express 16, 12148 (2008)
- [2] Y. Mizuno, et al., *Light: Sci. Appl.* **5**, e16184 (2016). [**3**] H. Lee et al., *IEEE Photon. J.* **8**, 6802807 (2016).

- [4] K. Hotate, et al., J. Lightw. Technol. 24, 2541 (2006).
 [5] H. Lee, et al., Electron. Lett. 55, 276 (2019).
 [6] K. Noda, et al., Appl. Phys. Express 12, 022005 (2019).
- [7] G. P. Agrawal, Nonlinear Fiber Optics (Academic, 2002).